

Interferometría

Notación compleja

Una onda electromagnética está descrita por la ecuación de ondas:

$$\frac{\partial^2 E}{\partial r^2} = \frac{k^2}{\omega^2} \frac{\partial^2 E}{\partial t^2}$$

La solución más sencilla a la ecuación de ondas es la onda armónica o sinusoidal:

$$E(t, r) = E_0 \cos(\omega t - kz)$$

Sin embargo, por conveniencia matemática, muchas veces es más sencillo trabajar con notación compleja. Aprovechando que

$$\operatorname{Re}[E_0 e^{j(\omega t - kz)}] = E_0 \cos(\omega t - kz)$$

de aquí en adelante trabajaremos directamente con $E_0 e^{j(\omega t - kz)}$ asumiendo que al final de los cálculos se cogerá la parte real del resultado.

Números complejos

Forma polar

$$E(t, r) = |E| e^{j(\omega t - kz)} = |E| e^{j(\varphi)}$$

Forma rectangular

$$E(t, r) = |E| e^{j(\varphi)} = |E| (\cos(\varphi) + j \sin(\varphi)) = a + jb$$

$$a = \operatorname{Re}[|E| e^{j(\varphi)}] = |E| \cos(\varphi)$$

$$b = \operatorname{Im}[|E| e^{j(\varphi)}] = |E| \sin(\varphi)$$

Intensidad números complejos

$$I \propto |E|^2 = E \cdot E^*$$

Intensidad forma rectangular

$$I \propto |E|^2 = (a + jb)(a - jb) = a^2 + b^2$$

Intensidad forma polar

$$I \propto |E|^2 = E \cdot E^* = |E| e^{j(\varphi)} \cdot |E| e^{j(-\varphi)}$$

Interferometría

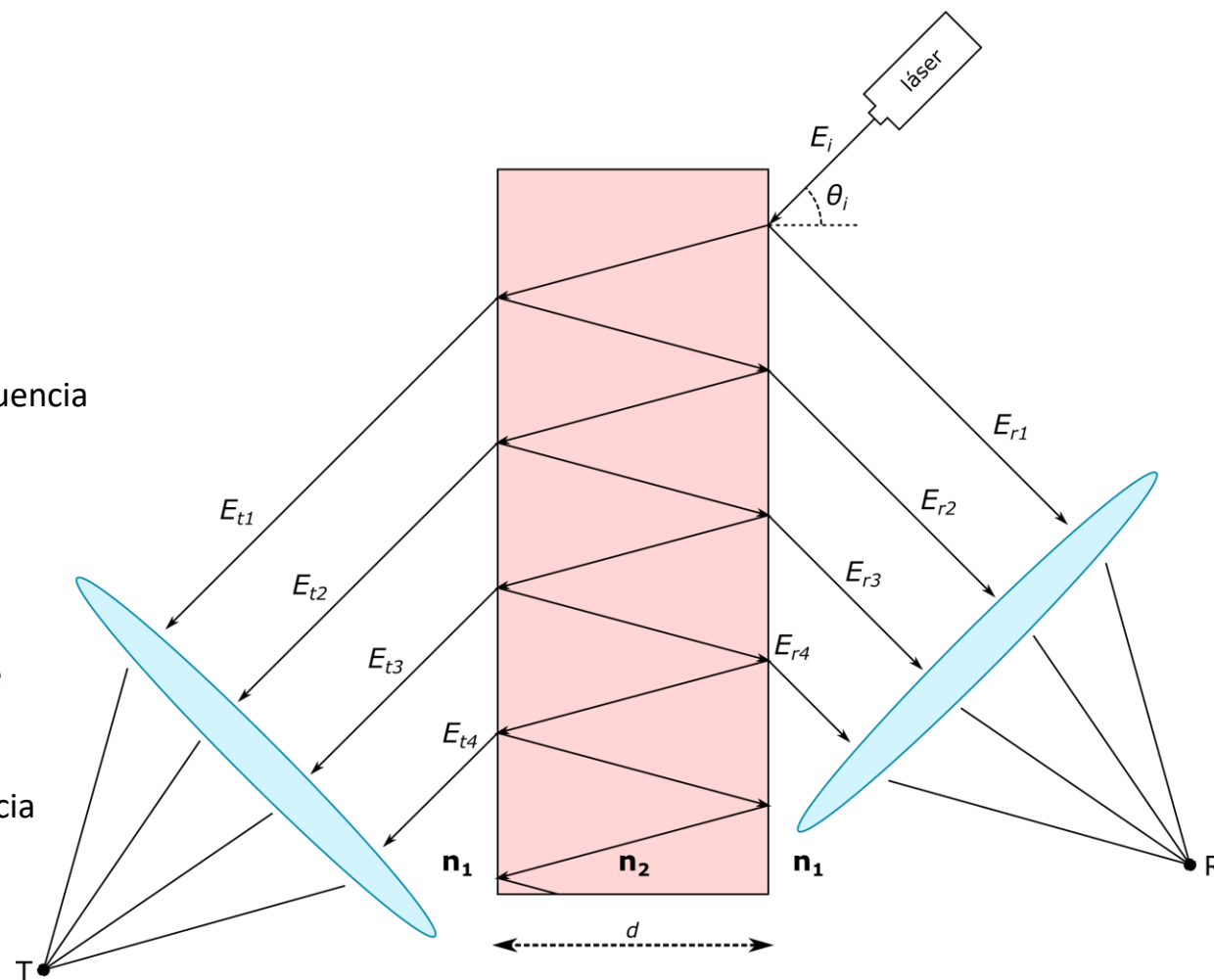
Interferómetro de ondas múltiples – interferómetro de Fabry-Perot

Resumen hasta ahora

- Interferencia entre 2 ondas electromagnéticas con la misma frecuencia
 - Interferómetro de Young
 - Interferómetro de Michelson
 - Interferómetro de Mach-Zehnder
- Interferencia entre múltiples ondas electromagnéticas con la misma frecuencia
 - Interferómetro de Fabry-Perot

Interferómetro Fabry-Perot: aire ($n = n_1 = 1$) + lámina de vidrio ($n = n_2$) + aire ($n = n_1 = 1$)

Parámetro de diseño del interferómetro: material de la lámina (i.e., n_2) y distancia entre placas (i.e., d)



Interferometría

Interferómetro de ondas múltiples – interferómetro de Fabry-Perot

Patrón de interferencia en el punto T

Queremos hallar la intensidad en el punto T (i.e, I_T)

$$I_T = |E_T|^2 = (|E_{t1} + E_{t2} + E_{t3} + E_{t4} + \dots|)^2$$

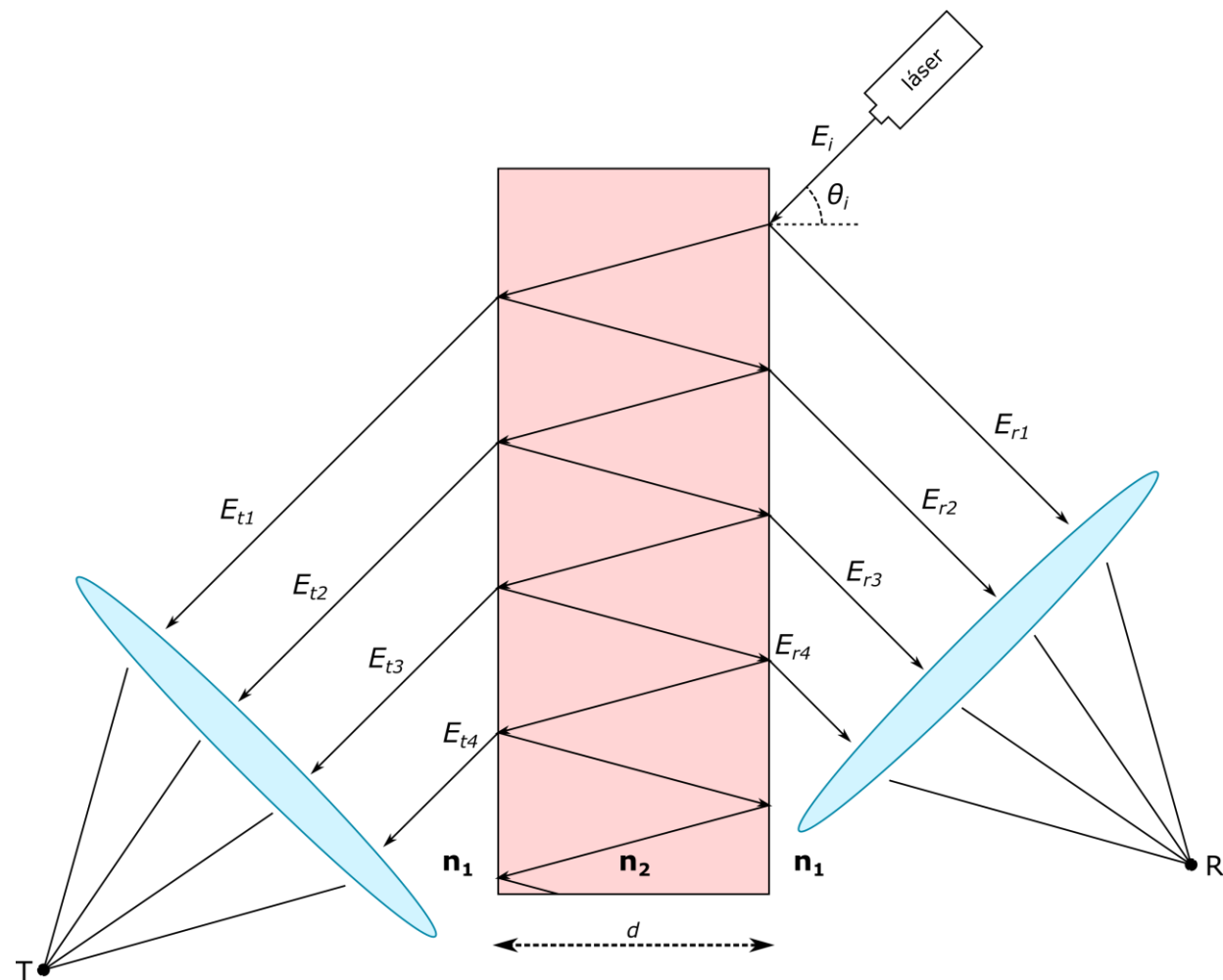
$$E_{t1} = |E_{t1}|e^{j(-\omega t + k_1 z_1)}$$

$$E_{t2} = |E_{t2}|e^{j(-\omega t + k_2 z_2)}$$

\vdots

Pasos

1. Expresar valores amplitudes $|E_{t1}|, |E_{t2}| \dots$ con respecto a $|E_i|$
2. Encontrar diferencia de fases espaciales:
 - $k_2 z_2 - k_1 z_1$
 - $k_3 z_3 - k_2 z_2$
 - \vdots
3. $E_T = E_{t1} + E_{t2} + E_{t3} + \dots$
4. Pasar E_T a coordenadas rectangulares ($E_T = a_T + jb_T$)
5. Encontrar $I_T = a_T^2 + b_T^2$



Interferometría

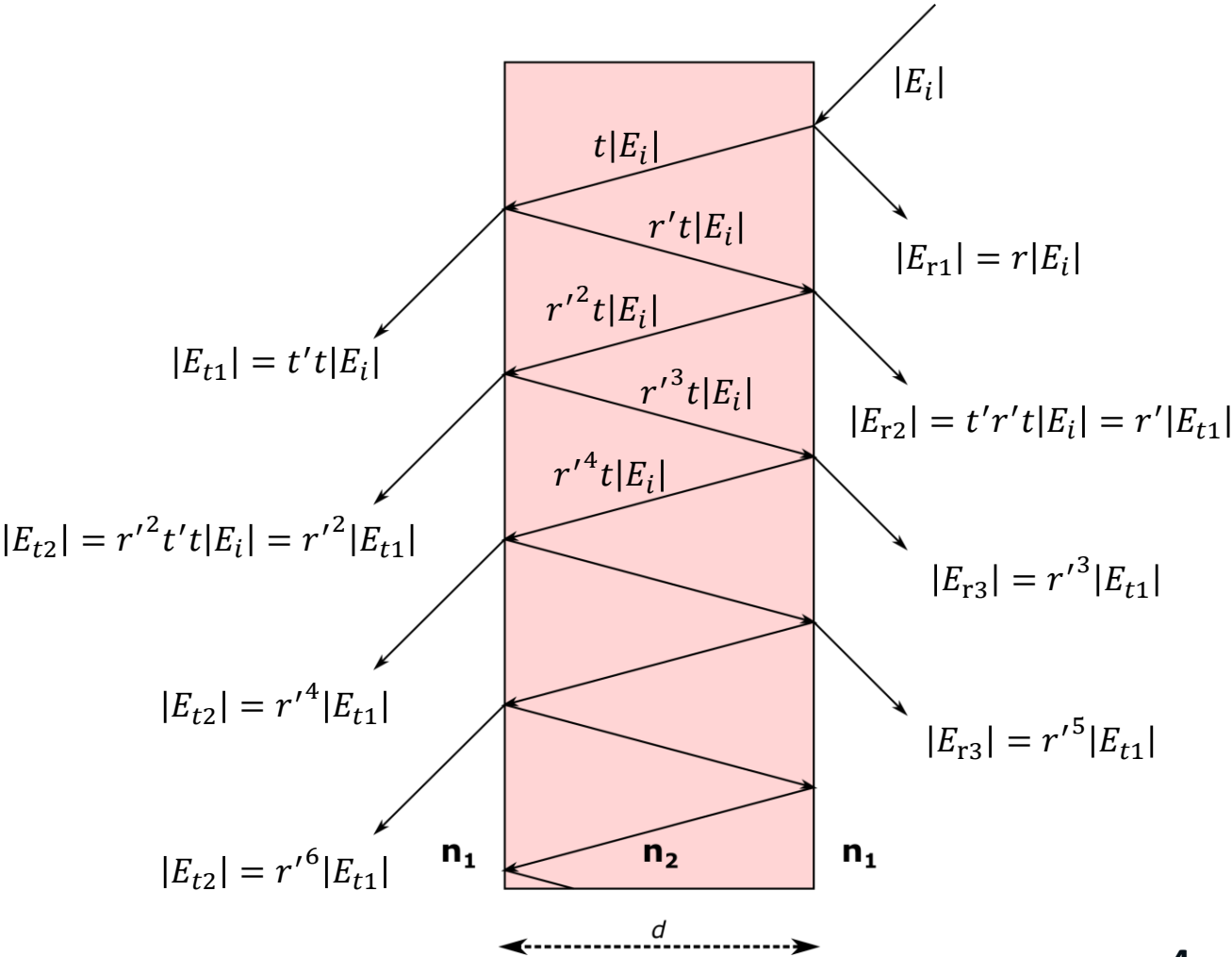
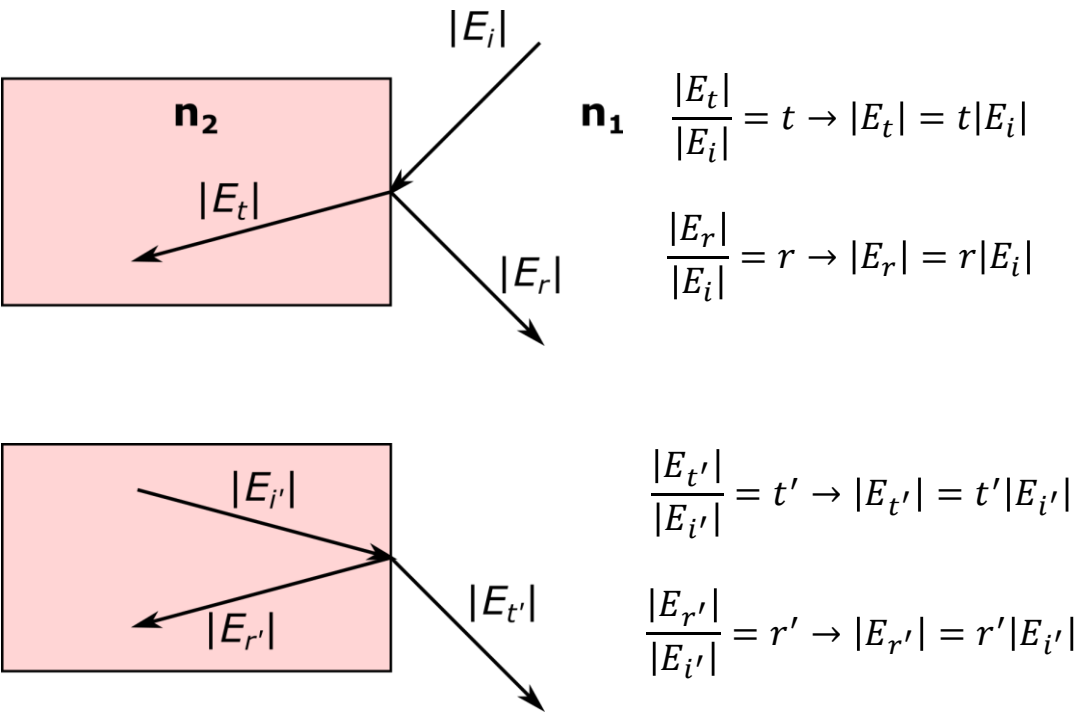
Interferómetro de ondas múltiples – interferómetro de Fabry-Perot

Patrón de interferencia en el punto T

Pasos

1. Expresar valores amplitudes $|E_{t1}|, |E_{t2}| \dots$ con respecto a $|E_i|$

Coefficientes de transmisión y reflexión de Fresnel



Interferometría

Interferómetro de ondas múltiples – interferómetro de Fabry-Perot

Patrón de interferencia en el punto T

Pasos

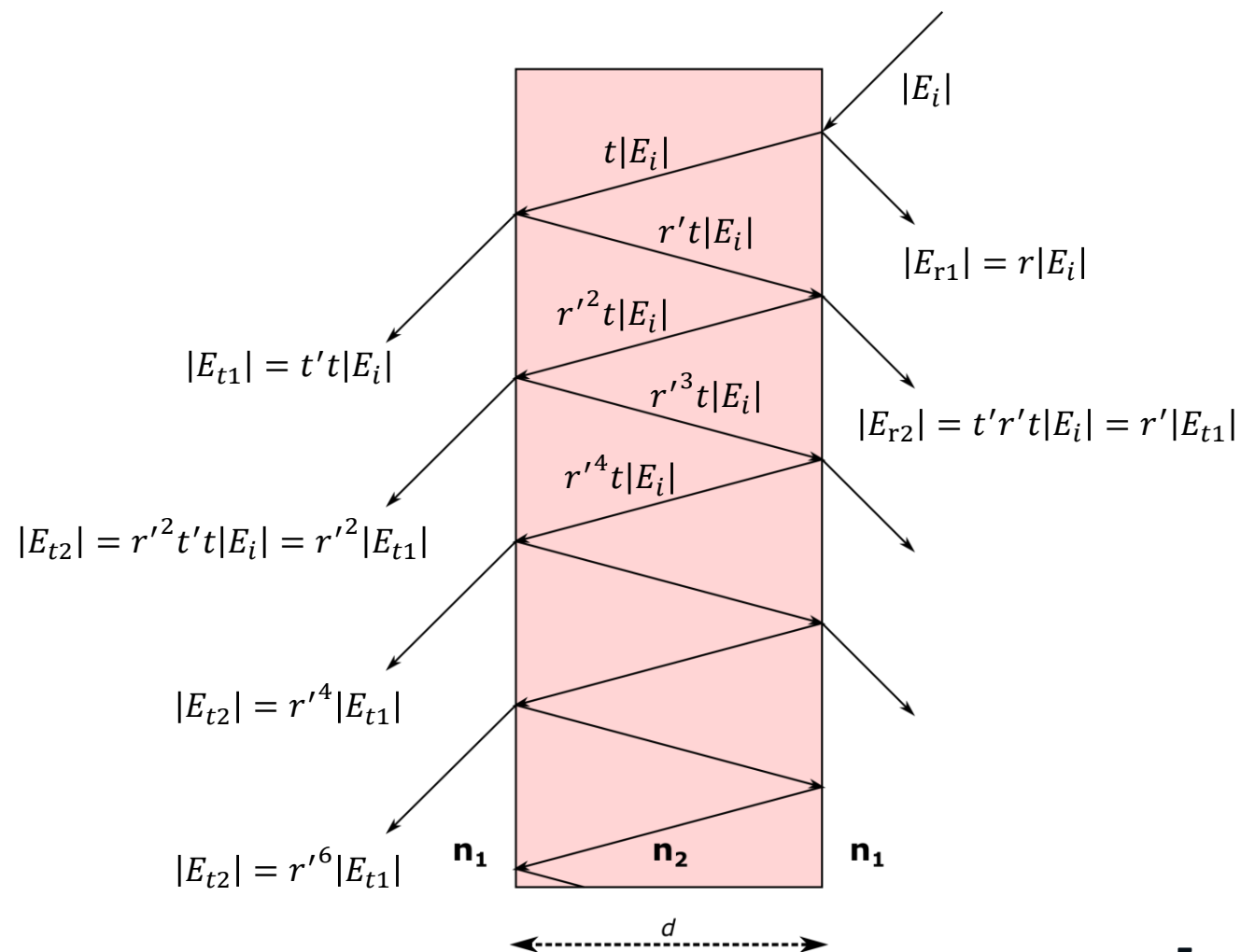
1. Expresar valores amplitudes $|E_{t1}|, |E_{t2}| \dots$ con respecto a $|E_i|$

$$E_{t1} = |E_{t1}|e^{j(-\omega t + k_1 z_1)} = t't|E_i|e^{j(-\omega t + k_1 z_1)}$$

$$E_{t2} = |E_{t2}|e^{j(-\omega t + k_2 z_2)} = r'^2|E_{t1}|e^{j(-\omega t + k_2 z_2)}$$

$$E_{t3} = |E_{t3}|e^{j(-\omega t + k_3 z_3)} = r'^4|E_{t1}|e^{j(-\omega t + k_3 z_3)}$$

\vdots



Interferometría

Interferómetro de ondas múltiples – interferómetro de Fabry-Perot

Patrón de interferencia en el punto T

Pasos

2. Encontrar diferencia de fases espaciales:

- $k_2 z_2 - k_1 z_1$
- $k_3 z_3 - k_2 z_2$

$$k_2 z_2 - k_1 z_1 = \frac{2\pi}{\lambda} (n_2(\overline{AB} + \overline{BC}) - n_1(\overline{AD})) = \delta \Rightarrow k_2 z_2 = k_1 z_1 + \delta$$

$$k_4 z_4 - k_3 z_3 = \delta$$

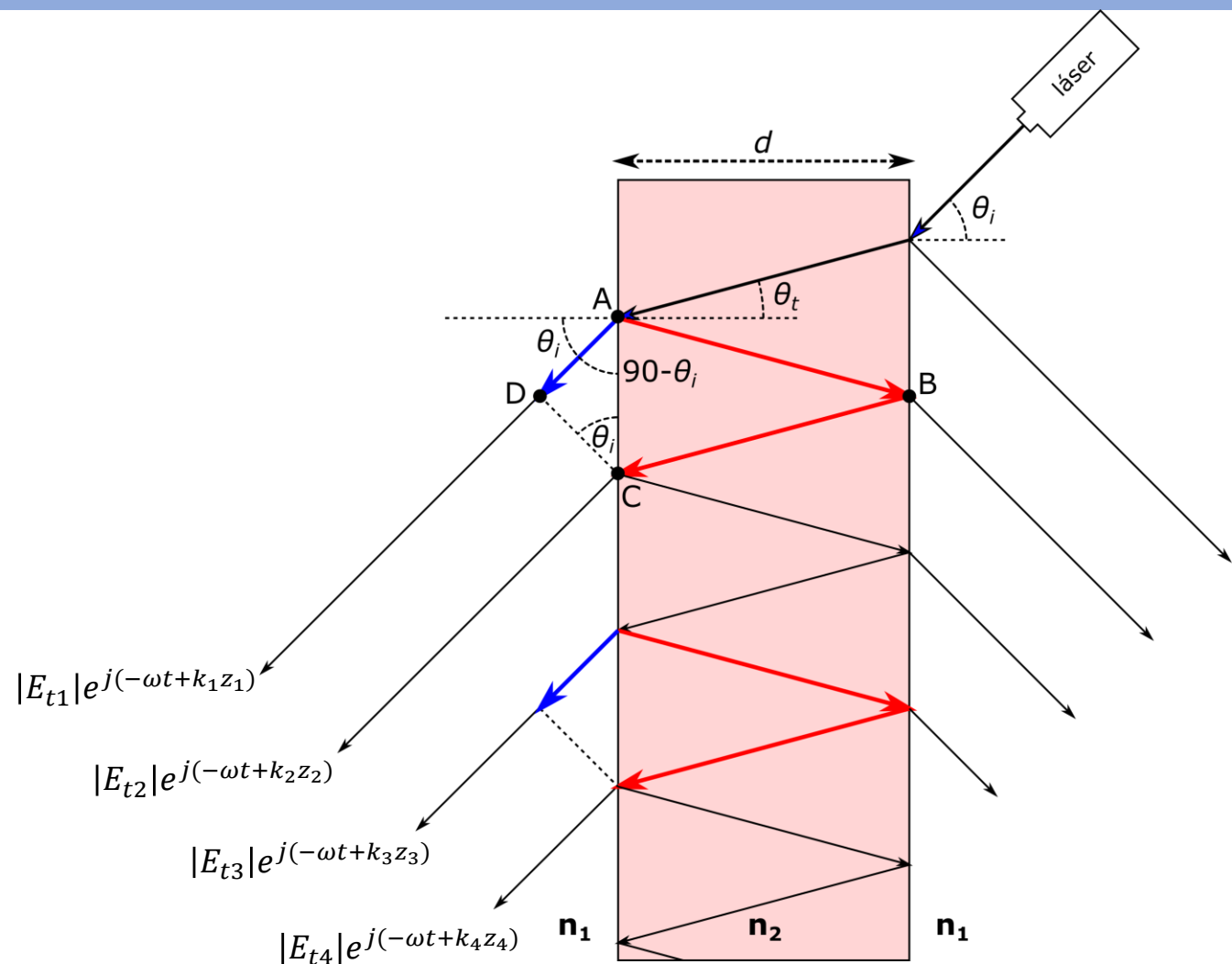
$$k_3 z_3 - k_2 z_2 = \delta \Rightarrow k_3 z_3 = k_2 z_2 + \delta = k_1 z_1 + 2\delta$$

$$E_{t1} = |E_{t1}| e^{j(-\omega t + k_1 z_1)}$$

$$E_{t2} = |E_{t2}| e^{j(-\omega t + k_2 z_2)} = r'^2 |E_{t1}| e^{j(-\omega t + k_1 z_1 + \delta)} = r'^2 e^{j(\delta)} E_{t1}$$

$$E_{t3} = |E_{t3}| e^{j(-\omega t + k_3 z_3)} = r'^4 |E_{t1}| e^{j(-\omega t + k_1 z_1 + 2\delta)} = r'^4 e^{j(2\delta)} E_{t1}$$

⋮



Interferometría

Interferómetro de ondas múltiples – interferómetro de Fabry-Perot

Patrón de interferencia en el punto T

Pasos

1. $E_T = E_{t1} + E_{t2} + E_{t3} + \dots$

$$E_{t1} = |E_{t1}|e^{j(-\omega t + k_1 z_1)}$$

$$E_{t2} = r'^2 e^{j(\delta)} E_{t1}$$

$$E_{t3} = r'^4 e^{j(2\delta)} E_{t1}$$

\vdots

$$E_T = E_{t1} + E_{t2} + E_{t3} + \dots = E_{t1}(1 + r'^2 e^{j\delta} + r'^4 e^{j2\delta} + \dots)$$

asumiendo suma infinita, la expresión de E_T se puede simplificar

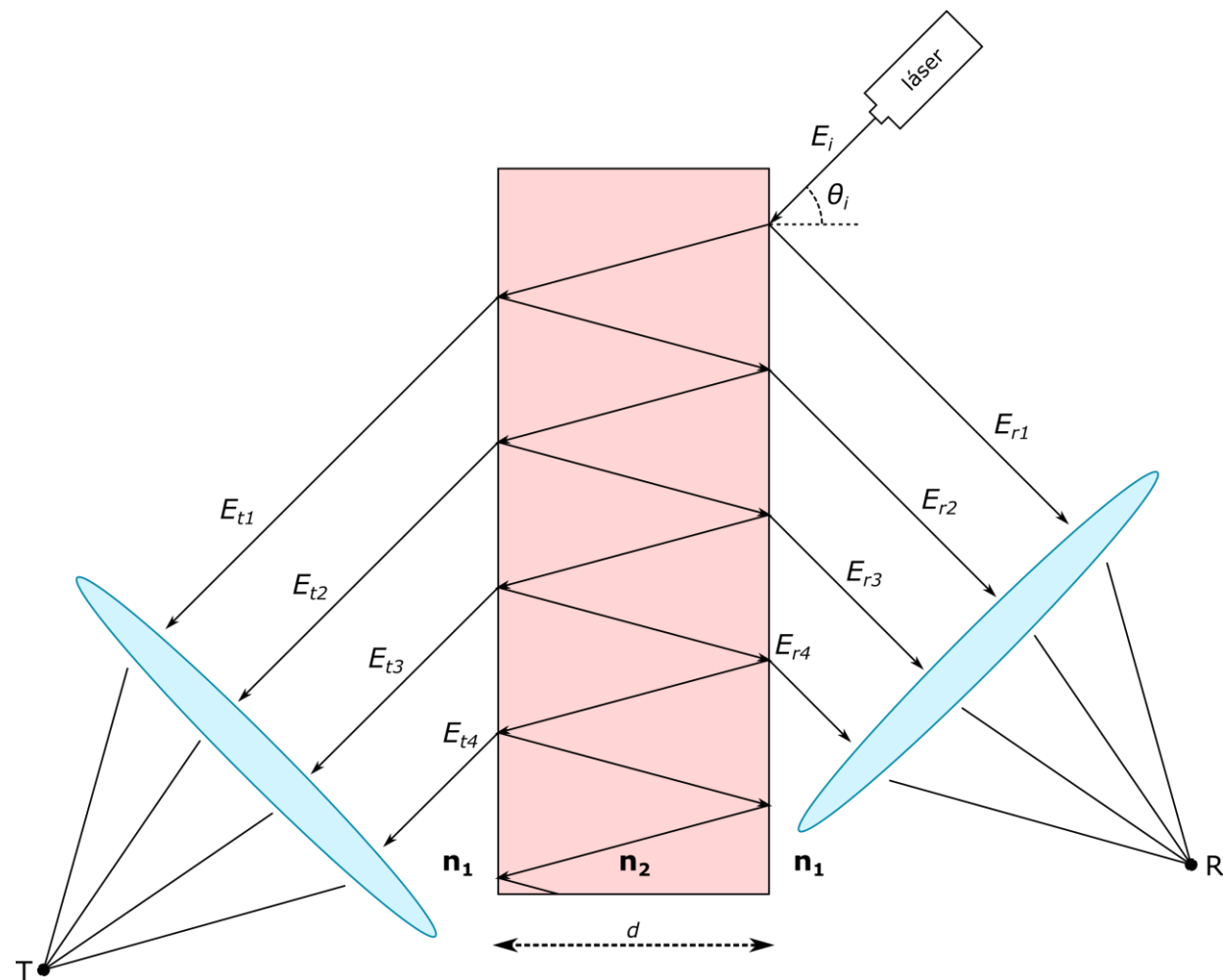
- Desarrollo matemático en los apuntes de Horacio

Pasos

3. Pasa E_T a coordenadas rectangulares ($E_T = a_T + jb_T$)

4. Encontrar $I_T = a_T^2 + b_T^2$

- Desarrollo matemático en los apuntes de Horacio



Interferometría

Interferómetro de ondas múltiples – interferómetro de Fabry-Perot

Patrón de interferencia en el punto T

$$I_T = \frac{|E_{t1}|^2}{(1 - r'^2)^2 + 4r'^2 \sin^2\left(\frac{\delta}{2}\right)}$$

$$I_{T,máx} = \frac{|E_{t1}|^2}{(1 - r'^2)^2}$$

$$\frac{I_T}{I_{T,máx}} = \frac{(1 - r'^2)^2}{(1 - r'^2)^2 + 4r'^2 \sin^2\left(\frac{\delta}{2}\right)} = \frac{1}{1 + \frac{4r'^2}{(1 - r'^2)^2} \sin^2\left(\frac{\delta}{2}\right)}$$

Función de Airy:

$$\frac{I_T}{I_{T,máx}} = \frac{1}{1 + F \sin^2\left(\frac{\delta}{2}\right)}$$

$$F = \frac{4r'^2}{(1 - r'^2)^2} \text{ (factor F, factor de fuerza, Finesse)}$$

$$\frac{I_T}{I_{T,máx}} = \frac{1}{1 + F \sin^2\left(\frac{\delta}{2}\right)}$$

- **Máximos (interferencia constructiva)**

Condición para máximo

$$\sin^2\left(\frac{\delta}{2}\right) = 0 \Rightarrow \frac{\delta}{2} = 0, \pi, 2\pi \Rightarrow \delta = 0, 2\pi, 4\pi = 2m\pi$$

Valor en máximo

$$\frac{I_T}{I_{T,máx}} = 1$$

- **Mínimo (interferencia destructiva)**

Condición para mínimo

$$\sin^2\left(\frac{\delta}{2}\right) = 1 \Rightarrow \frac{\delta}{2} = \frac{\pi}{2}, \frac{3\pi}{2}, \frac{5\pi}{2} \Rightarrow \delta = \pi, 3\pi, 5\pi = (2m + 1)\pi$$

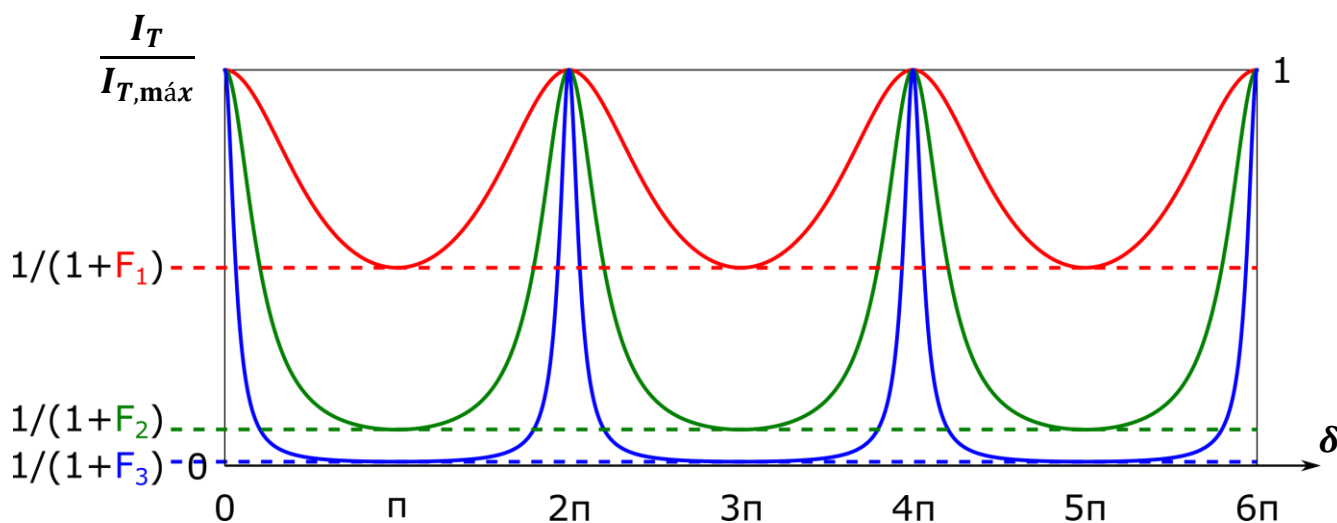
Valor en mínimo

$$\frac{I_P}{I_{T,máx}} = \frac{1}{1 + F}$$

Interferometría

Interferómetro de ondas múltiples – interferómetro de Fabry-Perot

Función de Airy



$$F_1 = 1 < F_2 = 10 < F_3 = 100$$

$$F = \frac{4r'^2}{(1-r'^2)^2} \text{ (} F \text{ depende de } r' \text{ que depende de } n_1 \text{ y } n_2 \text{)}$$

$$\frac{I_T}{I_{T,máx}} = \frac{1}{1 + F \sin^2\left(\frac{\delta}{2}\right)}$$

- Máximos (interferencia constructiva)**

Condición para máximo

$$\sin^2\left(\frac{\delta}{2}\right) = 0 \Rightarrow \frac{\delta}{2} = 0, \pi, 2\pi \Rightarrow \delta = 0, 2\pi, 4\pi = 2m\pi$$

Valor en máximo

$$\frac{I_T}{I_{T,máx}} = 1$$

- Mínimo (interferencia destructiva)**

Condición para mínimo

$$\sin^2\left(\frac{\delta}{2}\right) = 1 \Rightarrow \frac{\delta}{2} = \frac{\pi}{2}, \frac{3\pi}{2}, \frac{5\pi}{2} \Rightarrow \delta = \pi, 3\pi, 5\pi = (2m+1)\pi$$

Valor en mínimo

$$\frac{I_P}{I_{T,máx}} = \frac{1}{1 + F}$$

Interferometría

Interferómetro de ondas múltiples – interferómetro de Fabry-Perot

Función de Airy – cálculo de δ

$$k_2 z_2 - k_1 z_1 = \frac{2\pi}{\lambda} (n_2(\overline{AB} + \overline{BC}) - n_1(\overline{AD})) = \delta$$

$$\cos(\theta_t) = \frac{d}{\overline{AB}} \rightarrow \overline{AB} = \frac{d}{\cos(\theta_t)}$$

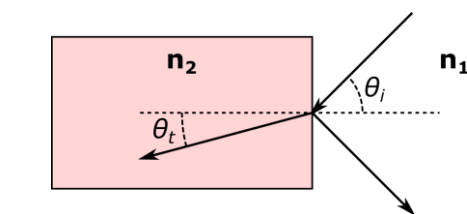
$$\sin(\theta_i) = \frac{\overline{AD}}{\overline{AC}} \rightarrow \overline{AD} = \sin(\theta_i) \overline{AC}$$

$$\sin(\theta_t) = \frac{\overline{AC}/2}{\overline{AB}} \rightarrow \overline{AC} = 2 \sin(\theta_t) \overline{AB}$$

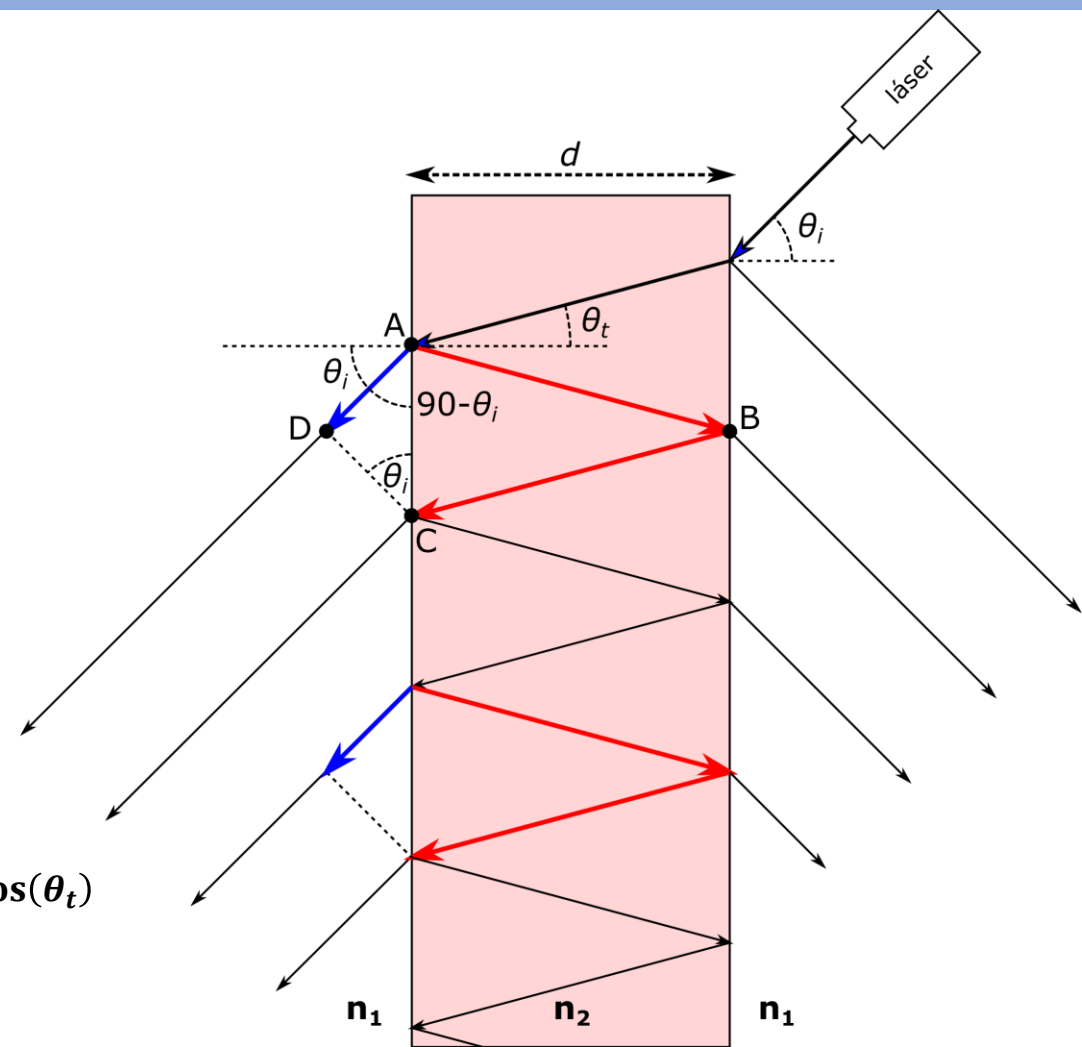
$$\overline{AD} = 2 \sin(\theta_i) \sin(\theta_t) \overline{AB} = 2n_2 \sin(\theta_t) \sin(\theta_t) \frac{2d}{\cos(\theta_t)} = \sin^2(\theta_t) \frac{n_2 2d}{\cos(\theta_t)}$$

$$n_2(\overline{AB} + \overline{BC}) - n_1(\overline{AD}) = \frac{n_2 2d}{\cos(\theta_t)} - \sin^2(\theta_t) \frac{n_2 2d}{\cos(\theta_t)} = \frac{n_2 2d}{\cos(\theta_t)} (1 - \sin^2(\theta_t)) = n_2 2d \cos(\theta_t)$$

$$\delta = \frac{2\pi}{\lambda} (n_2(\overline{AB} + \overline{BC}) - n_1(\overline{AD})) = \frac{2\pi}{\lambda} n_2 2d \cos(\theta_t)$$



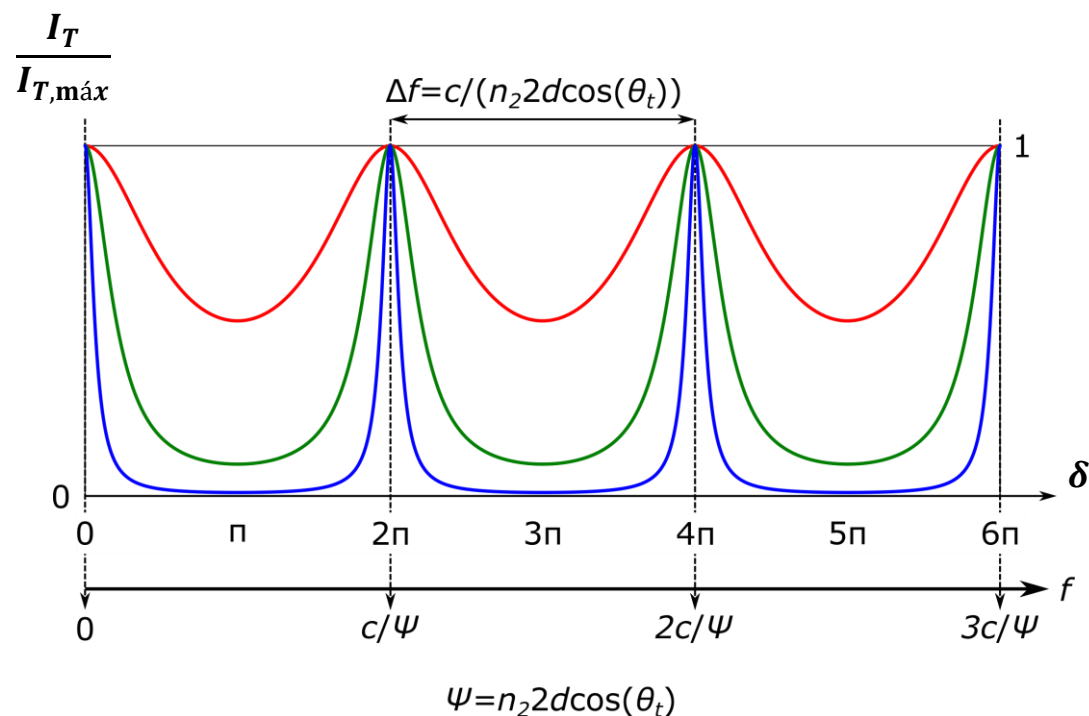
Snell
 $n_1 \sin(\theta_i) = n_2 \sin(\theta_t)$



Interferometría

Interferómetro de ondas múltiples – interferómetro de Fabry-Perot

Función de Airy



$$\frac{I_T}{I_{T,máx}} = \frac{1}{1 + F \sin^2\left(\frac{\delta}{2}\right)}$$

- Frecuencias resonantes (interferencia constructiva)**

Condición para máximo

$$\sin^2\left(\frac{\delta}{2}\right) = 0 \Rightarrow \frac{\delta}{2} = 0, \pi, 2\pi \Rightarrow \delta = 0, 2\pi, 4\pi = 2m\pi$$

$$\delta = \frac{2\pi}{\lambda} n_2 2d \cos(\theta_t) = 2m\pi \Rightarrow f = m \frac{c}{n_2 2d \cos \theta_t}$$

Separación entre máximos (FSR, free spectral range)

$$\Delta f = f_m - f_{m-1} = \frac{cm}{n_2 2d \cos \theta_t} - \frac{c(m-1)}{n_2 2d \cos \theta_t} = \frac{c}{n_2 2d \cos \theta_t}$$

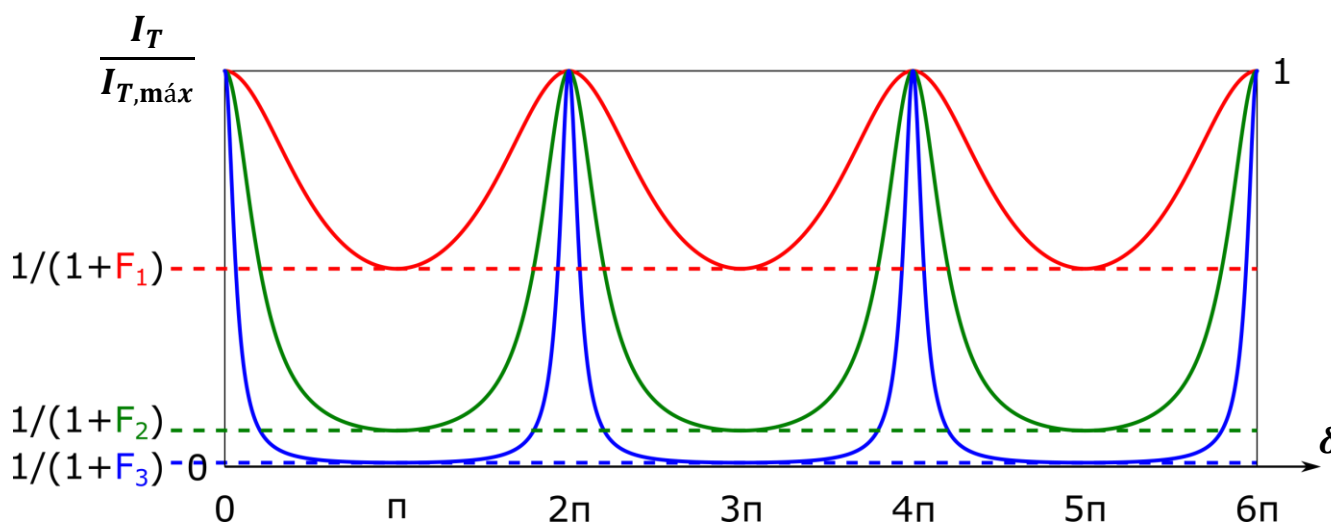
¿FSR en longitud de onda $\Delta\lambda$?

¿Picos equidistantes en longitud de onda?

Interferometría

Interferómetro de ondas múltiples – interferómetro de Fabry-Perot

Función de Airy



$$F_1 = 1 < F_2 = 10 < F_3 = 100$$

$$\frac{I_T}{I_{T,máx}} = \frac{1}{1 + F \sin^2\left(\frac{\delta}{2}\right)}$$

- Frecuencias no resonantes**

Condición para mínimo

$$\sin^2\left(\frac{\delta}{2}\right) = 1 \Rightarrow \frac{\delta}{2} = \frac{\pi}{2}, \frac{3\pi}{2}, \frac{5\pi}{2} \Rightarrow \delta = \pi, 3\pi, 5\pi = (2m+1)\pi$$

$$\delta = \frac{2\pi}{\lambda} n_2 2d \cos(\theta_t) = (2m+1)\pi \Rightarrow f = \frac{(2m+1)}{2} \frac{c}{n_2 2d \cos \theta_t}$$

Valor en mínimo

$$\frac{I_T}{I_{T,máx}} = \frac{1}{1+F} \Rightarrow F = \frac{4r'^2}{(1-r'^2)^2}$$

Si $r' \approx 1$ entonces $r'^2 \approx 1$ y $F \rightarrow \infty$ y $\frac{1}{1+F} \rightarrow 0$

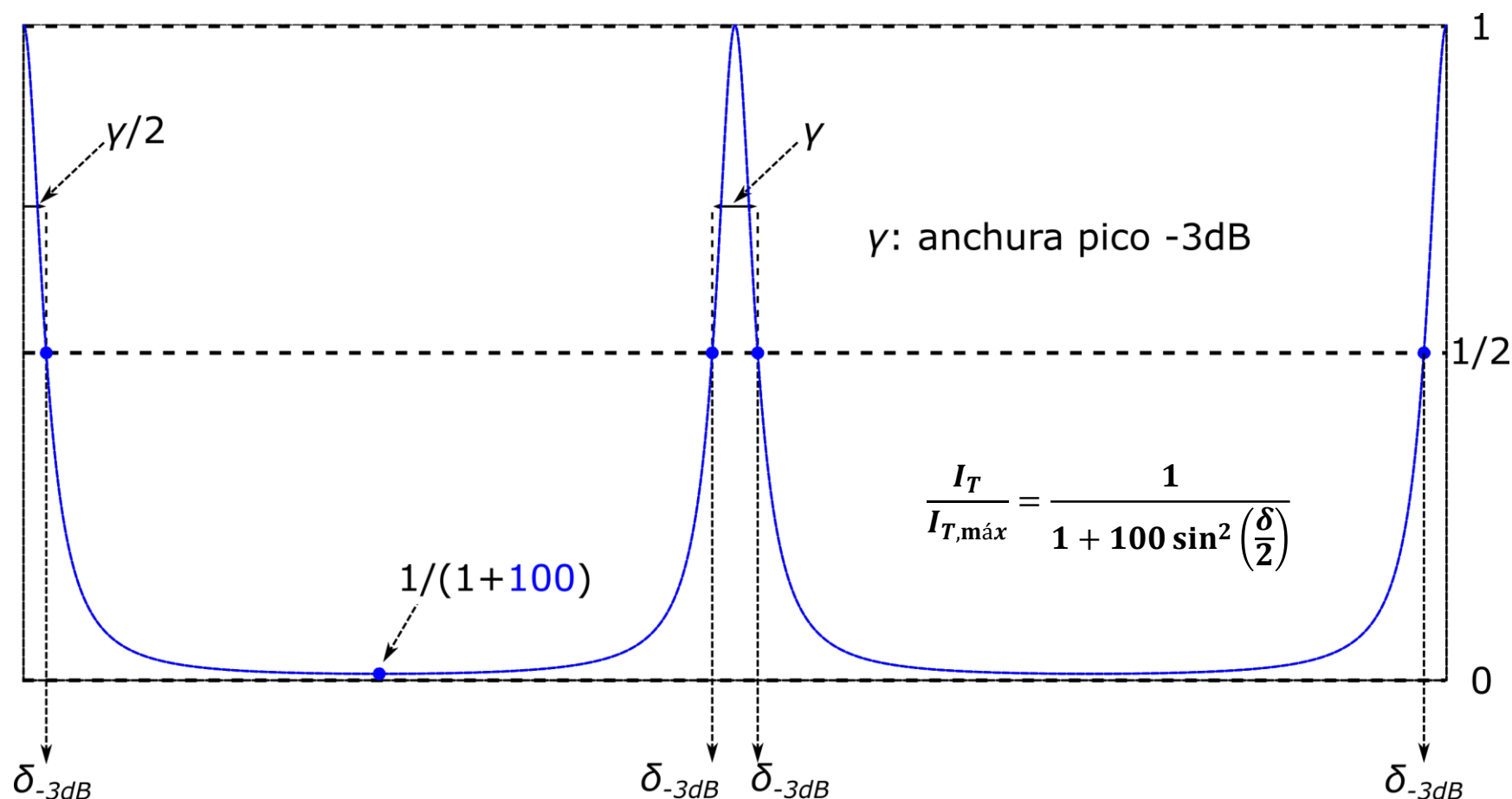
$r' = \frac{n_2 - n_1}{n_1 + n_2}$ (coeficiente de reflexión de Frenel, reflectividad del interferómetro)

$r' \approx 1$ para $n_2 \gg n_1 \Rightarrow$ alta reflectividad

Interferometría

Interferómetro de ondas múltiples – interferómetro de Fabry-Perot

Función de Airy – anchura de pico



$$\frac{1}{1 + F \sin^2\left(\frac{\delta_{3dB}}{2}\right)} = \frac{1}{2}$$

$$F \sin^2\left(\frac{\delta_{3dB}}{2}\right) = 1 \Rightarrow \sin\left(\frac{\delta_{3dB}}{2}\right) = \frac{1}{\sqrt{F}}$$

Solución 1er cuadrante $\frac{\delta_{3dB}}{2}$ es pequeña si F es grande \Rightarrow aproximación ángulo pequeño (primer pico)

$$\frac{\delta_{3dB}}{2} \approx \frac{1}{\sqrt{F}} \Rightarrow \gamma = 2\delta_{3dB} = \frac{4}{\sqrt{F}}$$

Anchura pico en frecuencia

$$\gamma(\text{Hz}) = 2f_{3dB}$$

$$\delta_{3dB} = \frac{2\pi}{\lambda_{3dB}} n_2 2d \cos \theta_t = \frac{2}{\sqrt{F}}$$

$$f_{3dB} = \frac{1}{2\pi} \frac{c}{n_2 d \cos \theta_t \sqrt{F}}$$

$$\gamma(\text{Hz}) = \frac{2}{2\pi} \frac{c}{n_2 d \cos \theta_t \sqrt{F}} = \frac{2 FSR}{\pi \sqrt{F}}$$

Interferometría

Interferómetro de ondas múltiples – interferómetro de Fabry-Perot

Función de Airy

Sabiendo que los coeficientes de transmisión de Fresnel son:

$$t = \frac{2n_1}{n_1 + n_2} \quad \text{y} \quad t' = \frac{2n_2}{n_1 + n_2}$$

¿Cuál es la relación entre $I_{T,máx}$ y la intensidad de nuestro láser a la entrada del filtro Fabry-Perot (i.e., I_i)?

$$I_{T,máx} = \frac{|E_{t1}|^2}{(1 - r'^2)^2}$$

$$|E_{t1}| = |E_i| t t' = |E_i| \frac{2n_1}{n_1 + n_2} \frac{2n_2}{n_1 + n_2} = |E_i| \frac{4n_1 n_2}{(n_1 + n_2)^2}$$

Por otra parte:

$$1 - r'^2 = 1 - \left(\frac{n_1 - n_2}{n_1 + n_2} \right)^2 = \frac{n_1^2 + n_2^2 + 2n_1 n_2 - n_1^2 - n_2^2 + 2n_1 n_2}{n_1^2 + n_2^2 + 2n_1 n_2} = \frac{4n_1 n_2}{(n_1 + n_2)^2}$$

Por tanto:

$$I_{T,máx} = \frac{|E_{t1}|^2}{(1 - r'^2)^2} = \frac{\left(|E_i| \frac{4n_1 n_2}{(n_1 + n_2)^2} \right)^2}{\left(\frac{4n_1 n_2}{(n_1 + n_2)^2} \right)^2} = |E_i|^2 = I_i$$

$$I_{T,máx} = I_i$$

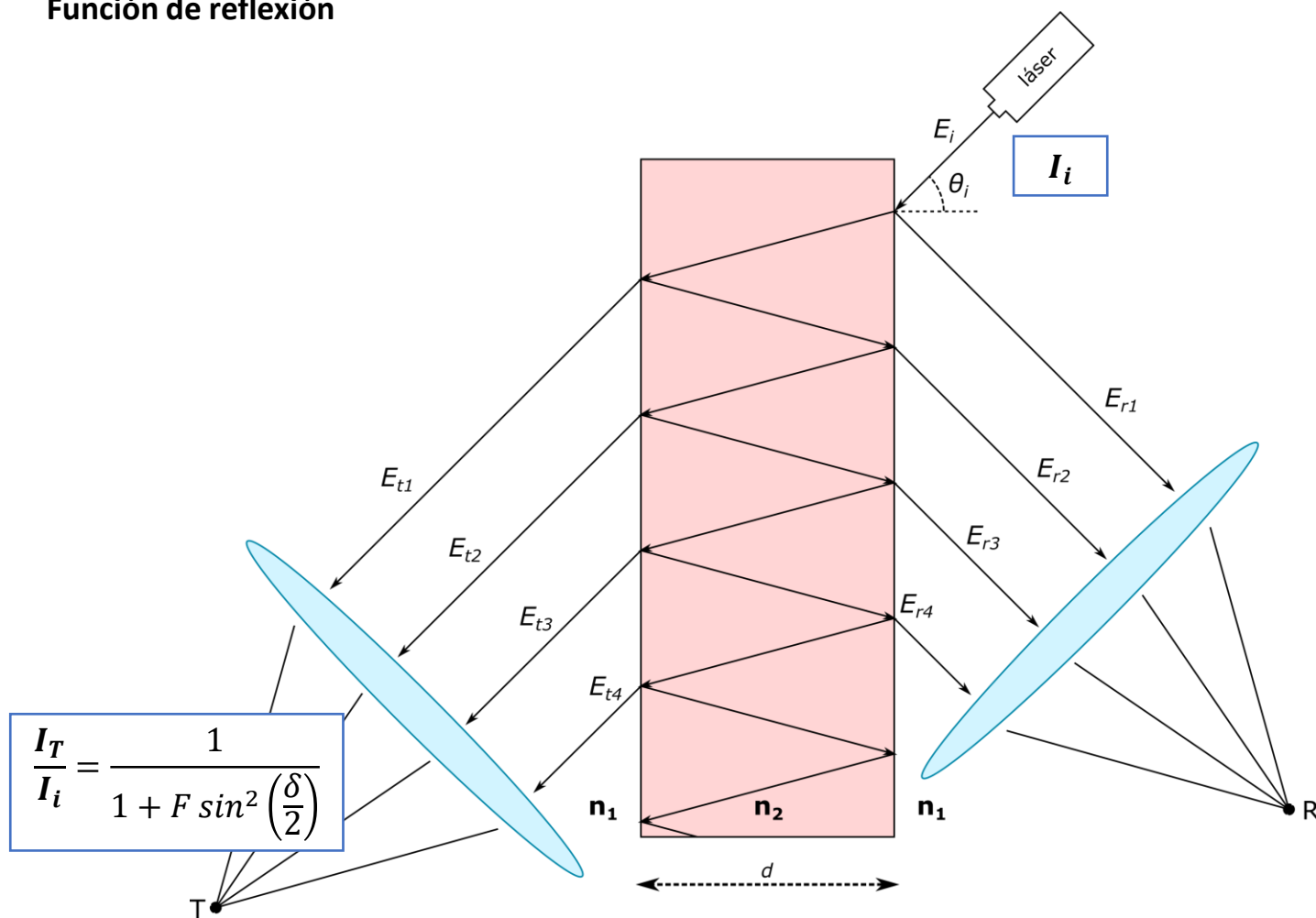
Luego la función de Airy se puede expresar como:

$$\frac{I_T}{I_{T,máx}} = \frac{I_T}{I_i} = \frac{1}{1 + F \sin^2 \left(\frac{\delta}{2} \right)}$$

Interferometría

Interferómetro de ondas múltiples – interferómetro de Fabry-Perot

Función de reflexión



Función de transferencia $\frac{I_R}{I_i}$

Campo de entrada:

$$E_i = |E_i|e^{j(-\omega t + k_1 z_1)}$$

$$I_i = |E_i|^2$$

Conservación de la energía

$$I_T + I_R = I_i$$

$$\frac{I_T}{I_i} + \frac{I_R}{I_i} = 1$$

$$I_{T,\text{máx}} = I_i$$

$$\frac{I_R}{I_i} = 1 - \frac{I_T}{I_i} = 1 - \frac{1}{1 + F \sin^2\left(\frac{\delta}{2}\right)} = \frac{F \sin^2\left(\frac{\delta}{2}\right)}{1 + F \sin^2\left(\frac{\delta}{2}\right)}$$

Ojo

$$I_{T,\text{máx}} = I_i$$

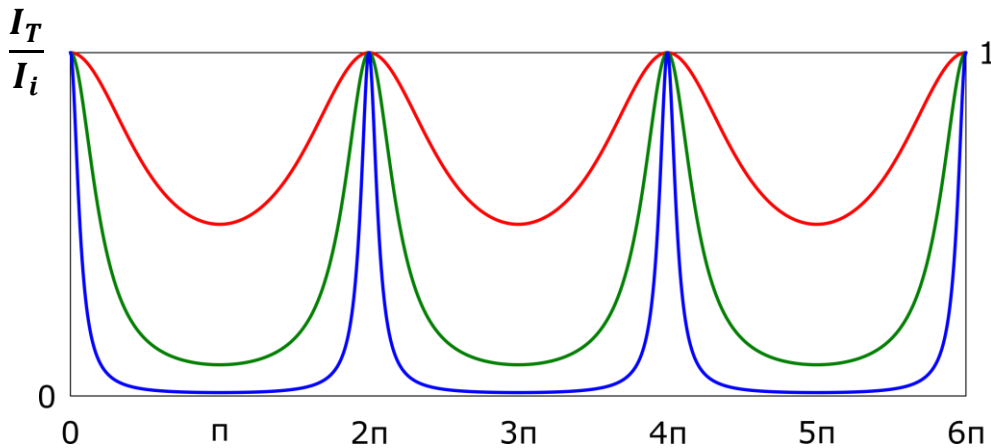
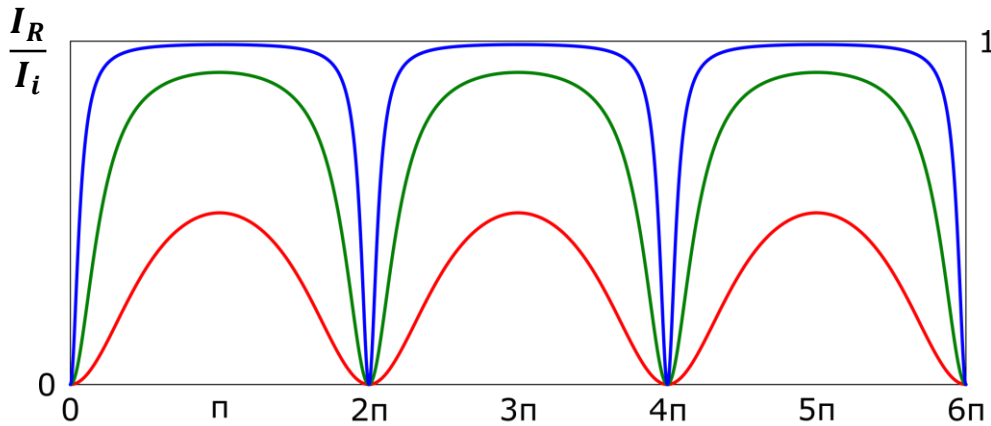
$$I_{R,\text{máx}} \neq I_i$$

$$\frac{I_R}{I_i} = \frac{F \sin^2\left(\frac{\delta}{2}\right)}{1 + F \sin^2\left(\frac{\delta}{2}\right)}$$

Interferometría

Interferómetro de ondas múltiples – interferómetro de Fabry-Perot

Función de reflexión



$$\frac{100 \sin^2\left(\frac{\delta}{2}\right)}{1 + 100 \sin^2\left(\frac{\delta}{2}\right)}$$

$$\frac{10 \sin^2\left(\frac{\delta}{2}\right)}{1 + 10 \sin^2\left(\frac{\delta}{2}\right)}$$

$$\frac{1 \sin^2\left(\frac{\delta}{2}\right)}{1 + 1 \sin^2\left(\frac{\delta}{2}\right)}$$

$$\frac{1}{1 + 100 \sin^2\left(\frac{\delta}{2}\right)}$$

$$\frac{1}{1 + 10 \sin^2\left(\frac{\delta}{2}\right)}$$

$$\frac{1}{1 + 1 \sin^2\left(\frac{\delta}{2}\right)}$$

Función de transferencia $\frac{I_R}{I_i}$

Campo de entrada:
 $E_i = |E_i|e^{j(-\omega t + k_1 z_1)}$
 $I_i = |E_i|^2$

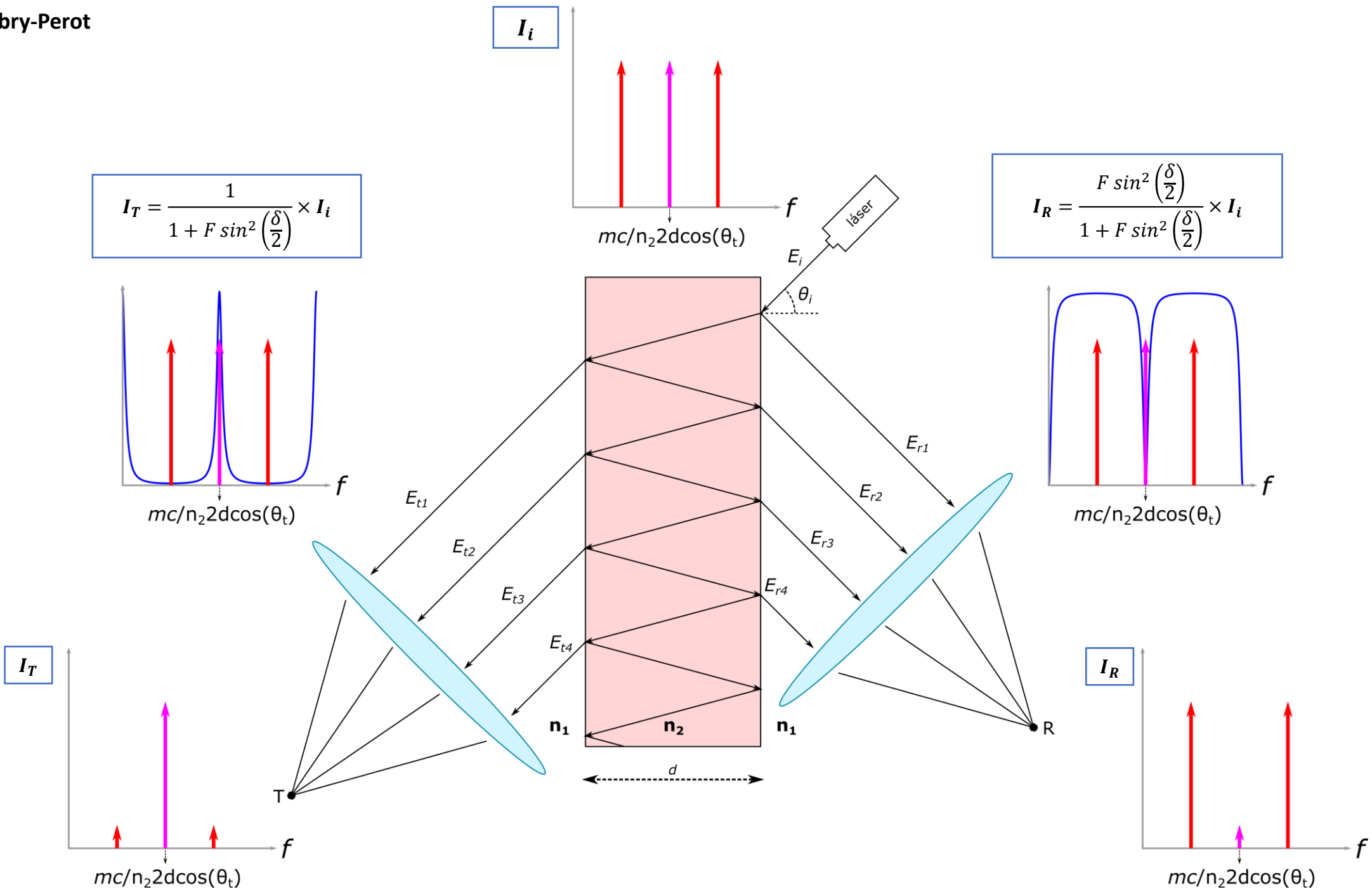
Conservación de la energía
 $I_T + I_R = I_i$
 $\frac{I_T}{I_i} + \frac{I_R}{I_i} = 1$

$$I_{T,máx} = I_i$$

$$\frac{I_R}{I_i} = 1 - \frac{I_R}{I_i} = 1 - \frac{1}{1 + F \sin^2\left(\frac{\delta}{2}\right)} = \frac{F \sin^2\left(\frac{\delta}{2}\right)}{1 + F \sin^2\left(\frac{\delta}{2}\right)}$$

Ojo
 $I_{T,máx} = I_i$
 $I_{R,máx} \neq I_i$

Filtros Fabry-Perot



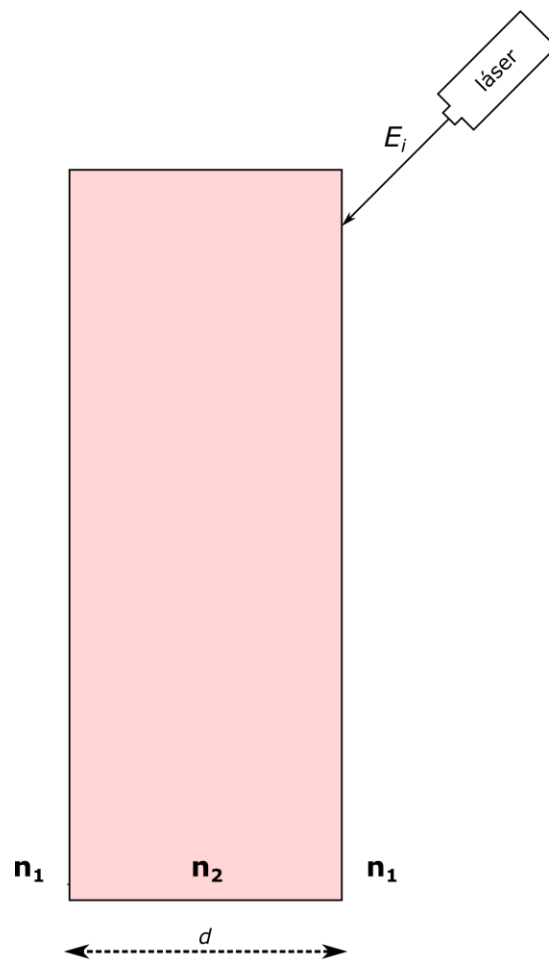
Interferometría

Tipos de filtro Fabry-Perot

Tipo 1: lámina de material
con índice de refracción n_2

Reflectividad:

$$r' = \frac{n_2 - n_1}{n_1 + n_2}$$



Tipo 2: dos espejos
enfrentados con aire en medio

Reflectividad: parámetro
característico de los espejos

